

# I – Les protéines

- 1- Les acides aminés
  - A- Structure générale
  - B- Propriétés acido-basiques et optiques
- 2- Les peptides
  - A- Définitions
  - B- Structure primaire
  - C- La liaison peptidique
  - D- Exemples de peptides
- 3- La structure des protéines

# II – Les Enzymes

- 1 - Introduction – Définitions
- 2 - Les cofacteurs enzymatiques
  - A - biotine (ou vitamine B8)
  - B - Nicotinamide Adénine Dinucléotide (NAD<sup>+</sup>)
- 3 - La réaction enzymatique
  - A - réaction non-catalysée
  - B - catalyse enzymatique
  - C - notion de site actif
  - D - introduction à la cinétique enzymatique
  - E – mesures enzymatiques : quantification d'une biomolécule

# III – Techniques de Purification et d'Analyse

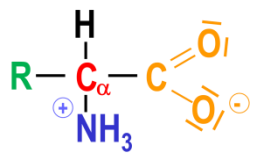
- 1 - Solubilisation – extraction des protéines
- 2 - Précipitation différentielle
  - A - précipitation isoélectrique
  - B - précipitation par des sels
- 3 - Techniques chromatographiques
  - A - échange d'ions
  - B - exclusion / diffusion
  - C - affinité
- 4 - Techniques électrophorétiques
  - A - électrophorèse sur papier
  - B - électrophorèse sur gel de polyacrylamide
- 5 - Technique immunoenzymatiques

# IV – Les Acides Nucléiques

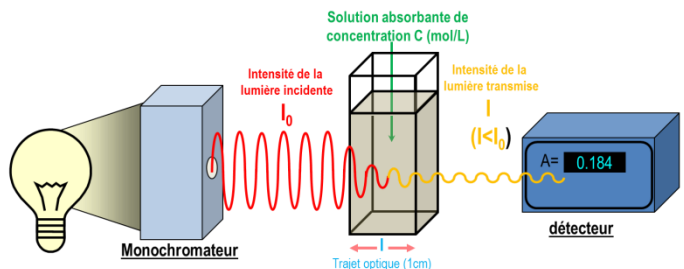
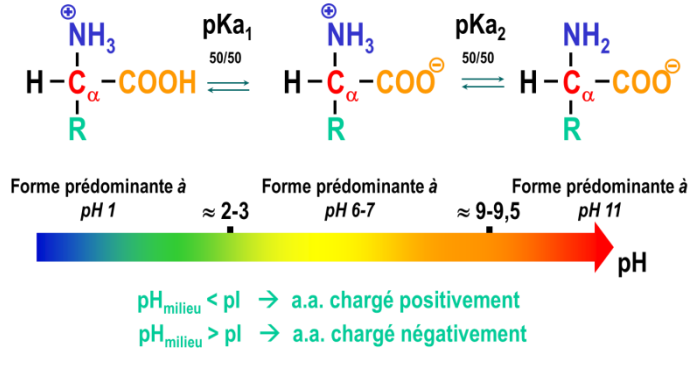
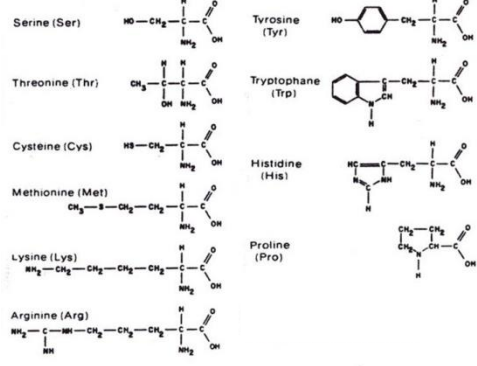
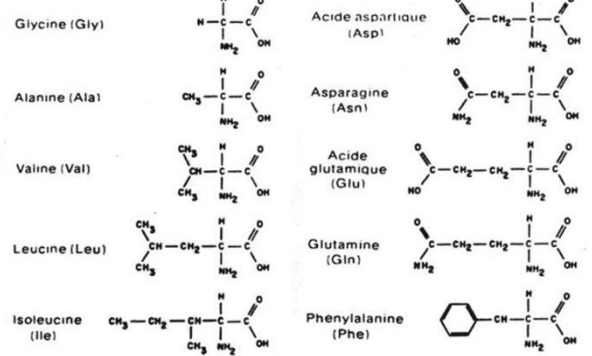
- 1- Bases azotées
  - A- 2 sortes de bases : purines et pyrimidines
  - B- Absorbance dans l'U.V.
  - C- Densité de charge
- 2- Nucléosides et nucléotides
  - A- Liaison avec 2 types de sucres
  - B- Modification avec l'acide phosphorique
  - C- Nomenclature
- 3- Structures spatiales
  - A- Association des nucléotides dans un acide nucléique
  - B- Complémentarité des bases
  - C- Double hélice/Propriétés
  - D- Modifications chimiques des acides nucléiques
- 4- Des nucléotides remarquables : ATP, AMPc et GMP
- 5- Séquençage de l'ADN et PCR

# V – Les lipides

- 1- Introduction
- 2- Nature et propriétés des acides gras
- 3- Lipides contenant des acides gras
- 4- Lipides dérivés d'acides gras
- 5- Lipides issus d'unités isopréniques
- 6- Purification des lipides

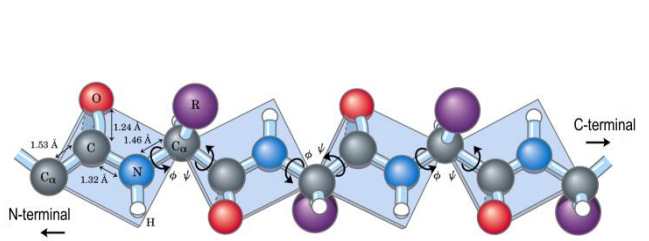
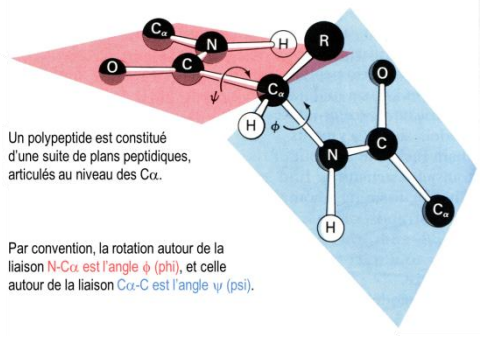
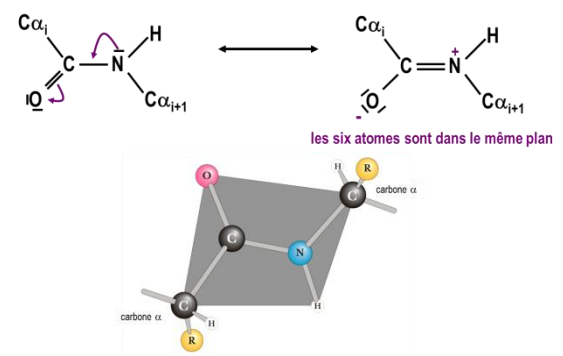
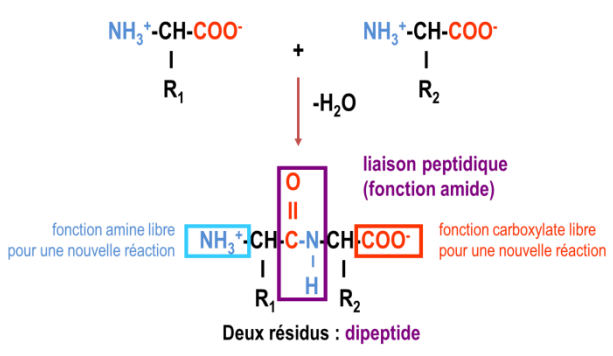
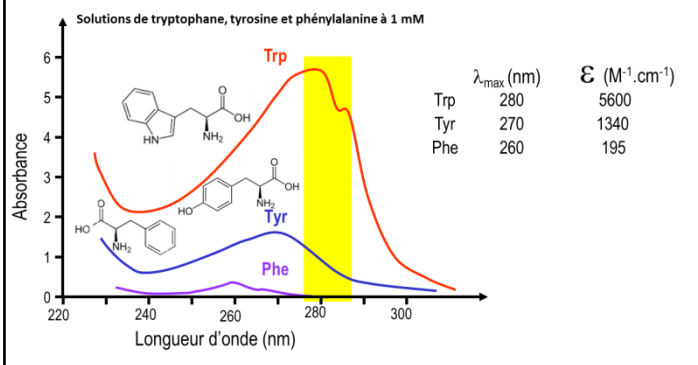


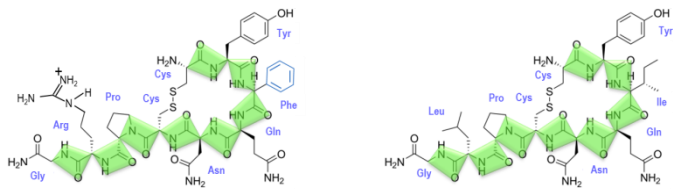
| Symbole | Code 3 lettres | Nom           |
|---------|----------------|---------------|
| A       | Ala            | Alanine       |
| C       | Cys            | Cystéine      |
| D       | Asp            | Aspartate     |
| E       | Glu            | Glutamate     |
| F       | Phe            | Phénylalanine |
| G       | Gly            | Glycine       |
| H       | His            | Histidine     |
| I       | Ile            | Isoleucine    |
| K       | Lys            | Lysine        |
| L       | Leu            | Leucine       |
| M       | Met            | Méthionine    |
| N       | Asn            | Asparagine    |
| P       | Pro            | Proline       |
| Q       | Gln            | Glutamine     |
| R       | Arg            | Arginine      |
| S       | Ser            | Sérine        |
| T       | Thr            | Thréonine     |
| V       | Val            | Valine        |
| W       | Trp            | Tryptophane   |
| Y       | Tyr            | Tyrosine      |



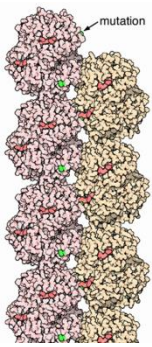
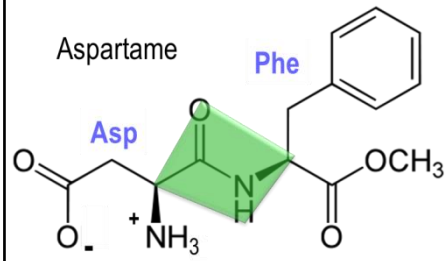
- La fraction de la lumière incidente absorbée par une solution à une longueur d'onde donnée dépend :

- 1- de l'épaisseur de la solution que la lumière doit traverser (trajet optique)
- 2- de la concentration de la solution en espèces absorbantes

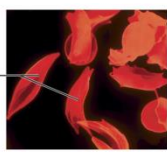




Hormones peptidiques post-hypophysaires



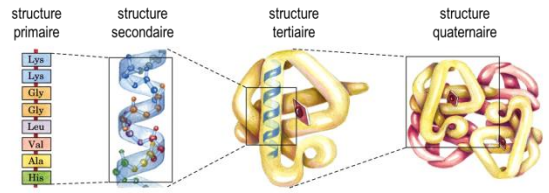
L'anémie falciforme (1<sup>ère</sup> maladie génétique dans le monde) résulte d'une mutation sur le gène codant l'hémoglobine : l'hémoglobine modifiée (E6V sur la chaîne  $\beta$ ) va s'agréger dans la cellule, surtout lorsque la  $[O_2]$  est faible.



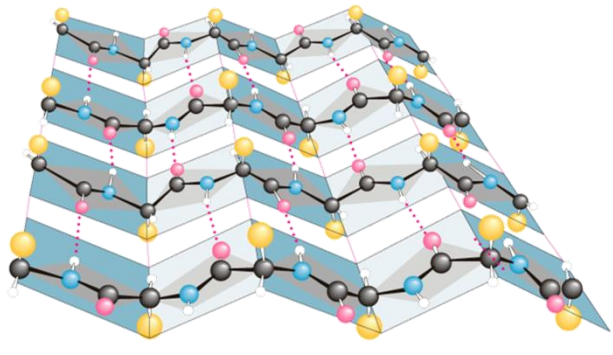
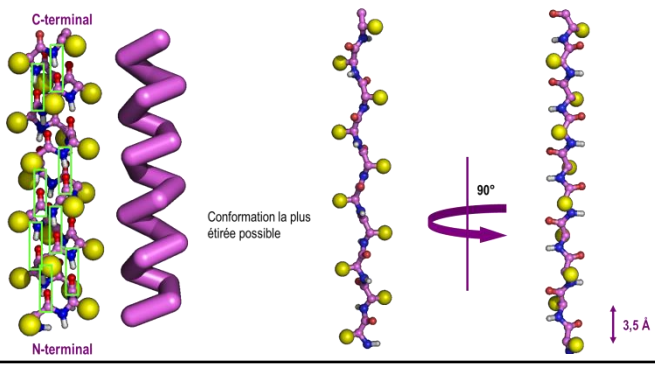
Globules rouges avec hémoglobine normale

Globules rouges avec hémoglobine mutée

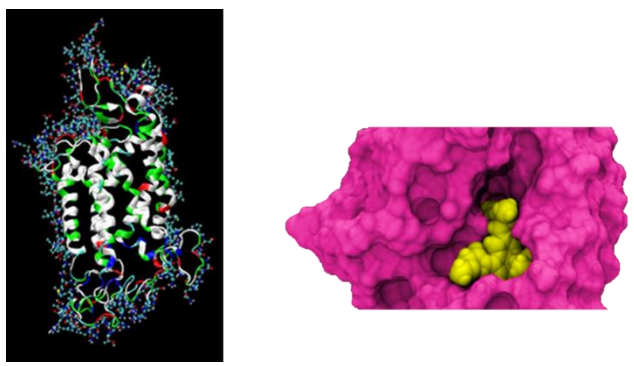
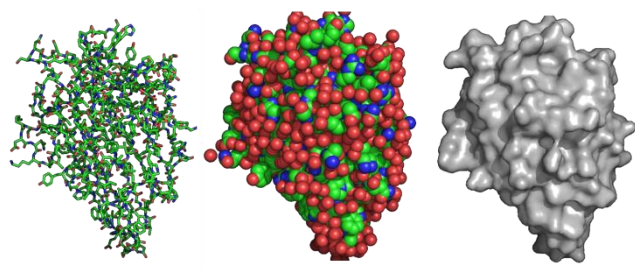
Différents niveaux de structuration pour une protéine



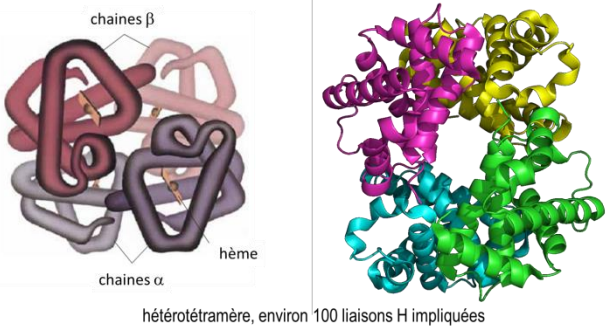
Structure primaire : enchaînement des acides aminés (séquence)  
 Structure secondaire : repliement local de la chaîne polypeptidique  
 Structure tertiaire : repliement global de la chaîne polypeptidique  
 Structure quaternaire : assemblage de plusieurs chaînes polypeptidiques



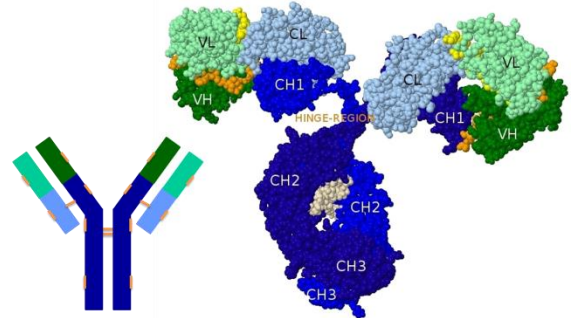
La concanavaleine A

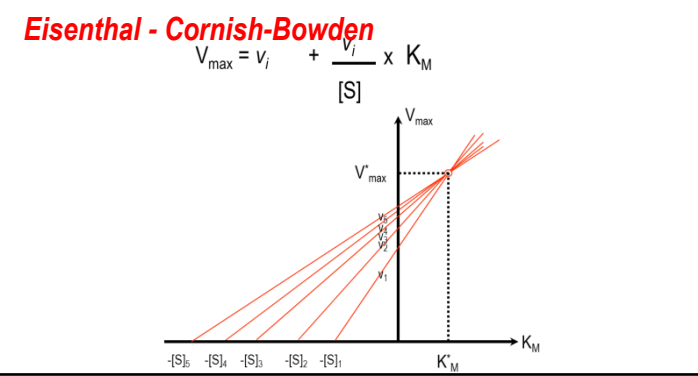
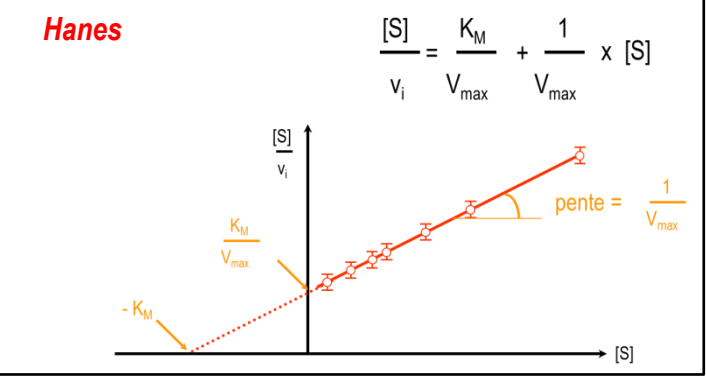
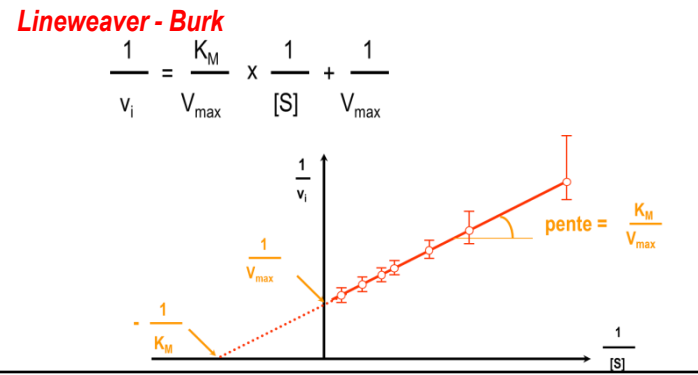
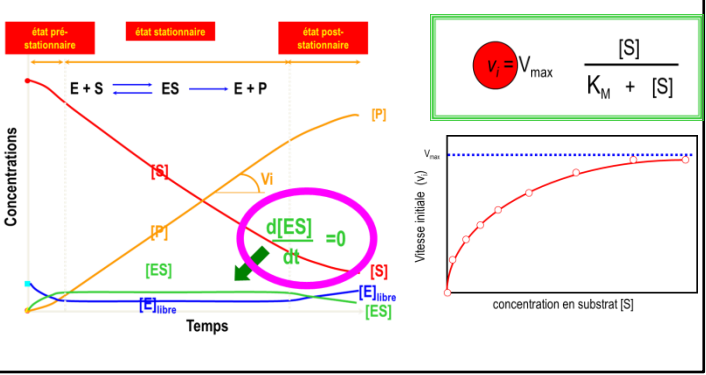
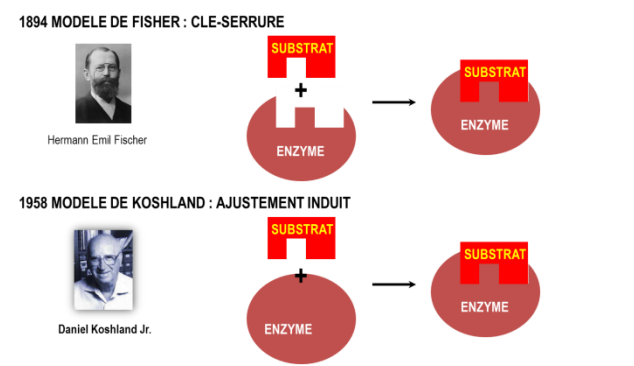
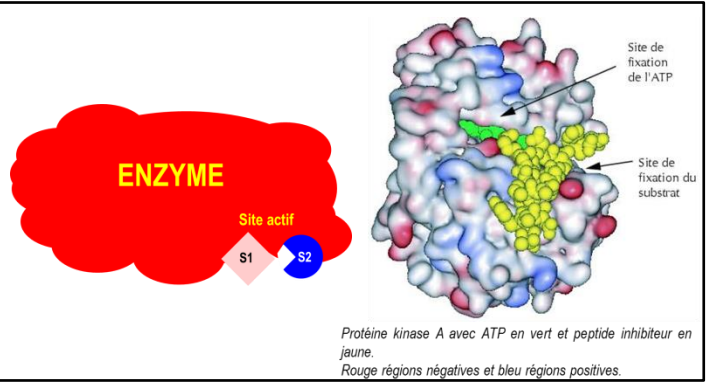
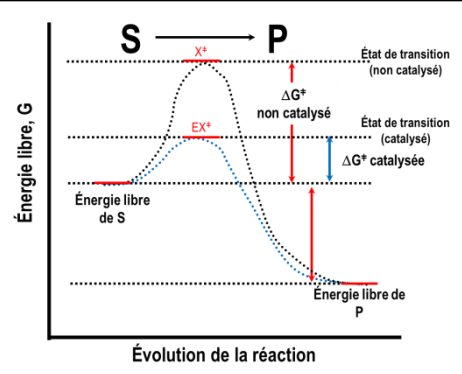
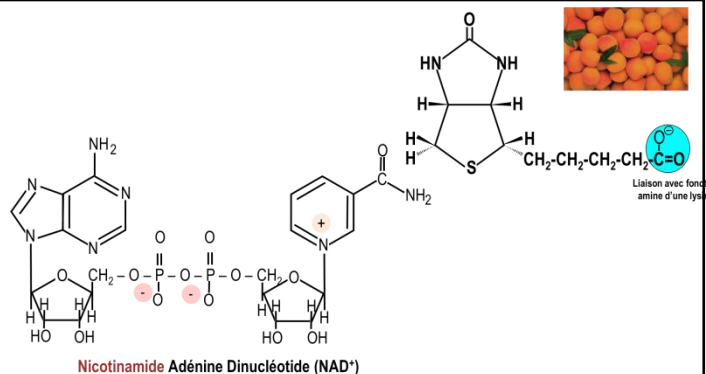


L'hémoglobine



Les immunoglobulines





**REACTIFS BIOLABO**  
www.biolabo.fr

**FABRICANT :**  
BIOLABO SA,  
02160, Mazy, France

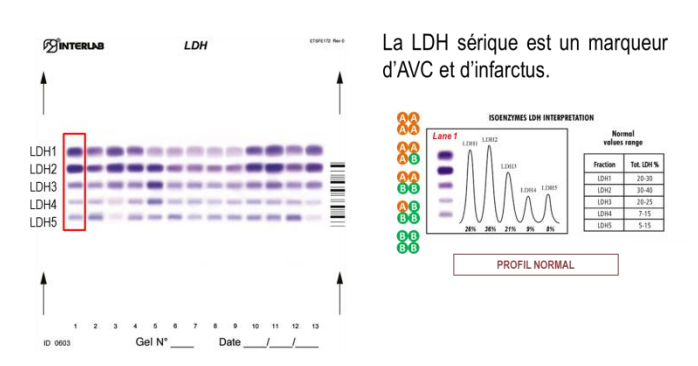
**CHOLESTEROL**  
Méthode CHOD-PAP

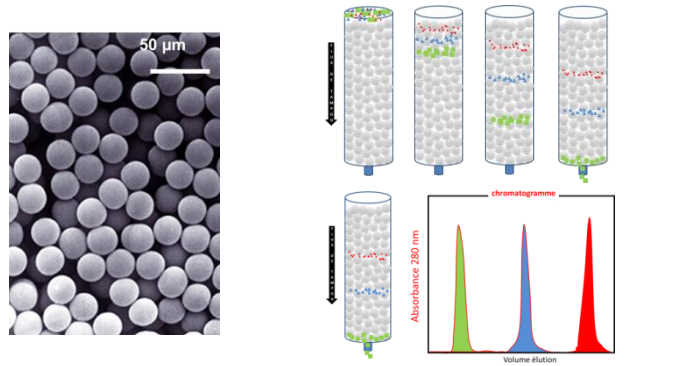
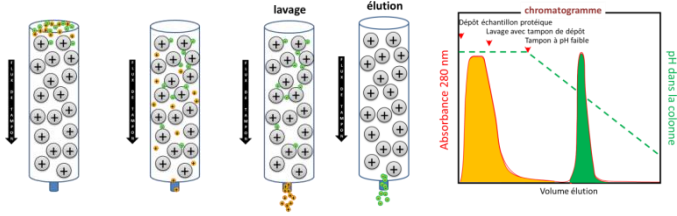
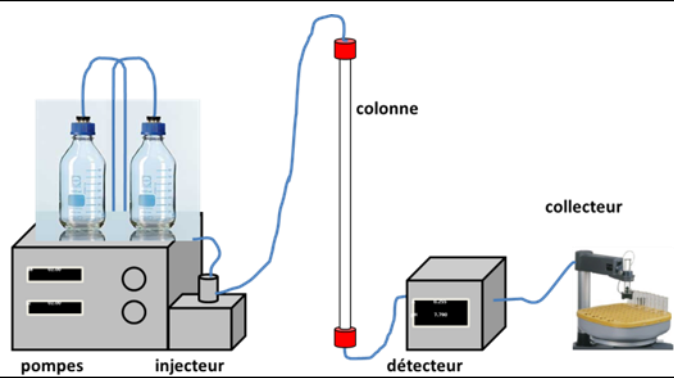
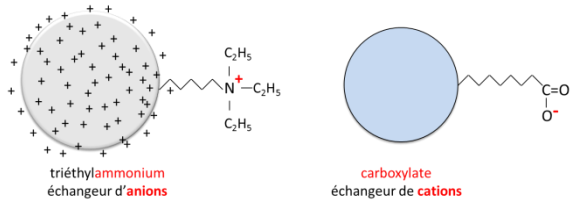
Reactif pour le dosage quantitatif du cholestérol total dans le plasma ou le sérum humains

Cholestérol estérifié  $\xrightarrow{CE}$  Cholestérol + acides gras libres

Cholestérol + O<sub>2</sub>  $\xrightarrow{CO}$  Cholesten 4 one 3 + H<sub>2</sub>O<sub>2</sub>

2 H<sub>2</sub>O<sub>2</sub> + Phénol + PAP  $\xrightarrow{POD}$  Quinonéimine (rose) + 4 H<sub>2</sub>O



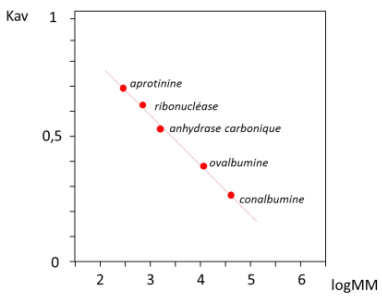


**K<sub>av</sub> = constante de volume accessible** → estimer la MM d'une protéine inconnue  
(fraction des billes accessible aux molécules)

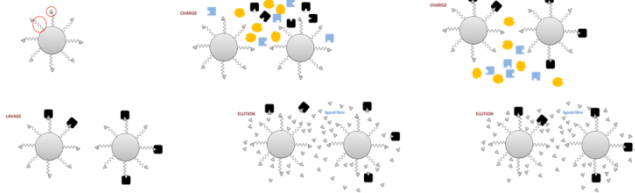
Mélange injecté (témoins)

| NOM                  | kDa  |
|----------------------|------|
| Aprotinine           | 6,5  |
| Ribonucléase         | 13,7 |
| Anhydrase carbonique | 29   |
| Ovalbumine           | 43   |
| Conalbumine          | 75   |

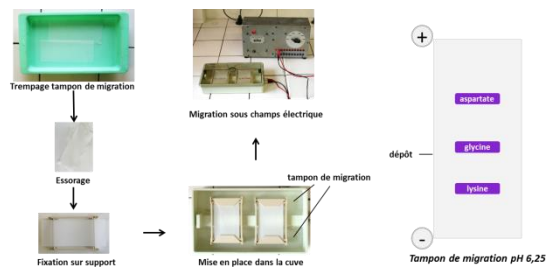
- MM connue
- K<sub>av</sub> calculé



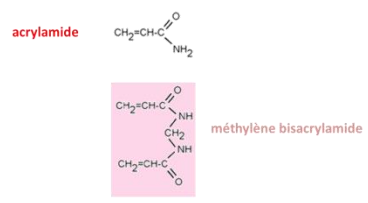
CHROMATOGRAPHIE D'AFFINITE



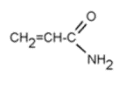
ELECTROPHORESE SUR PAPIER



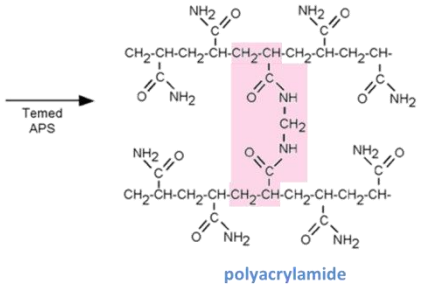
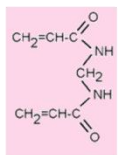
ELECTROPHORESE SUR GEL ACRYLAMIDE



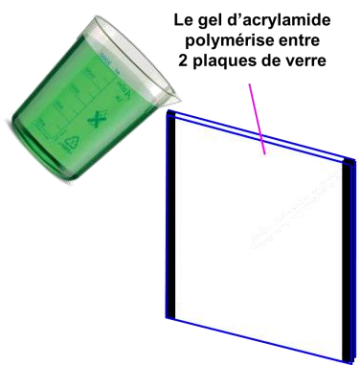
acrylamide



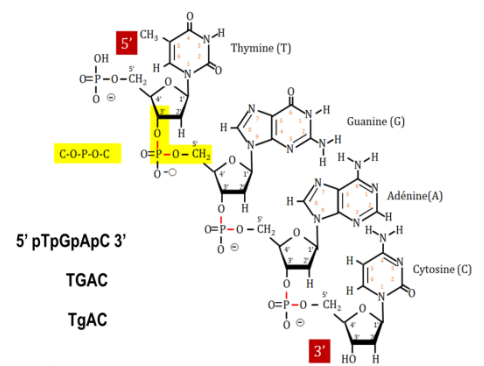
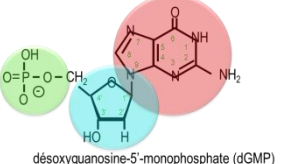
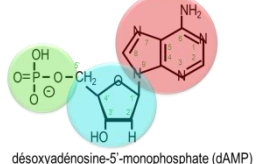
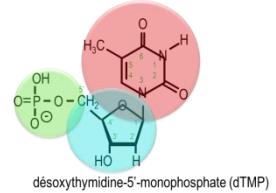
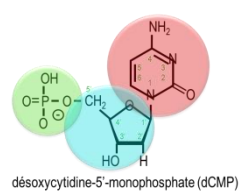
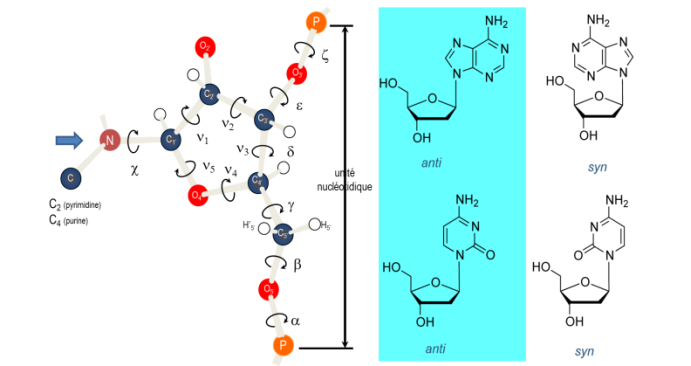
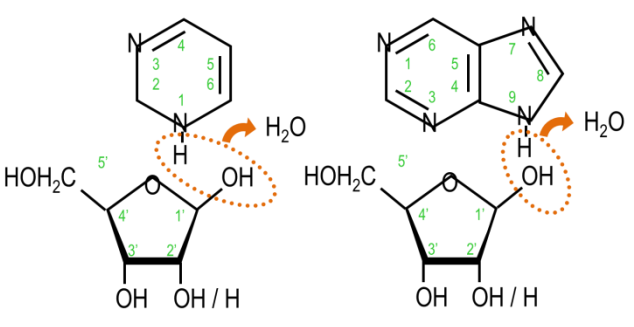
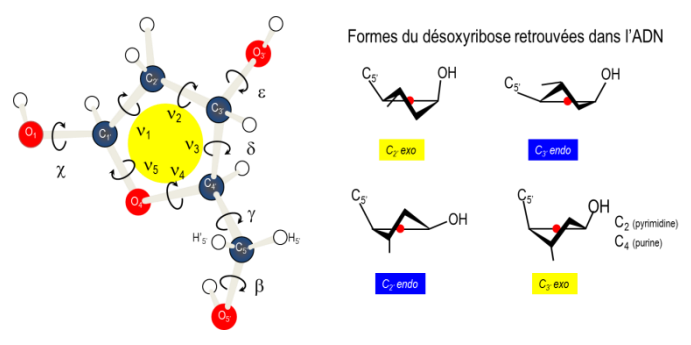
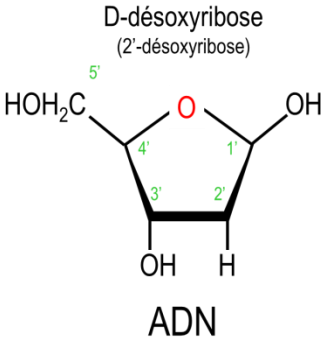
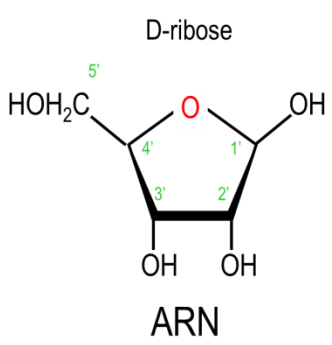
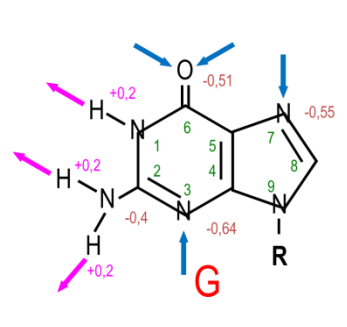
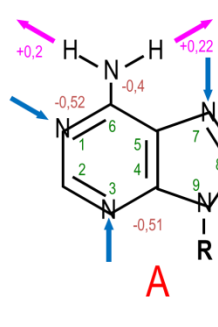
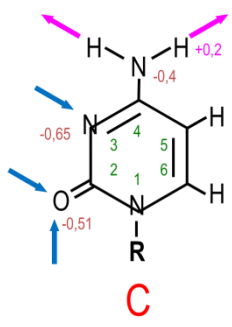
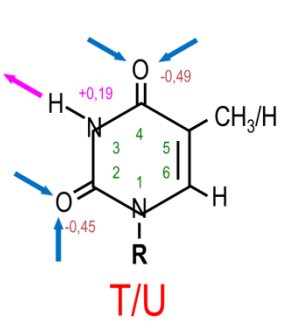
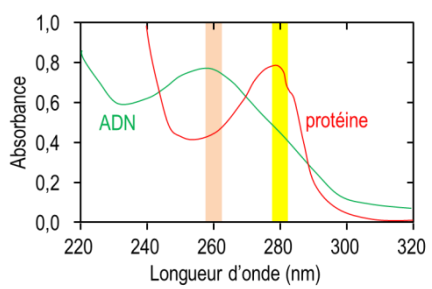
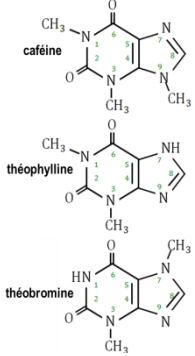
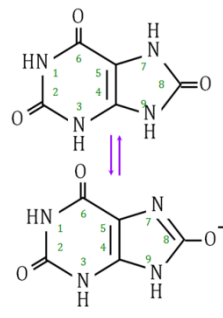
méthylène bisacrylamide



Acrylamide/bisacrylamide  
Tampon Tris pH6,8 ou 8,8  
SDS  
Persulfate d'ammonium  
TEMED

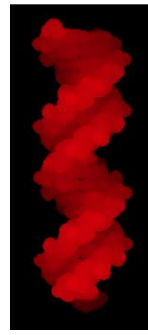
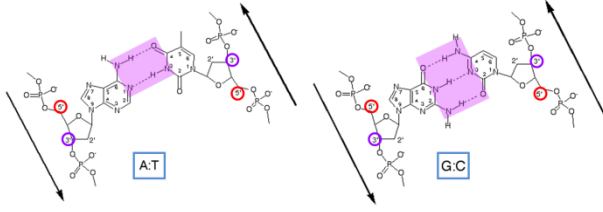




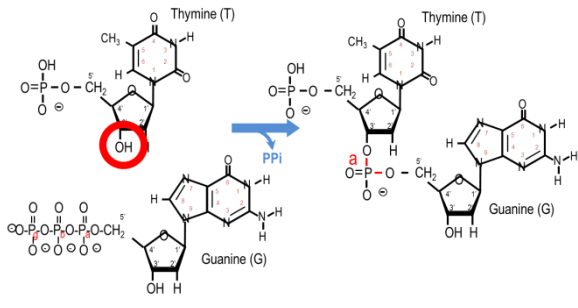
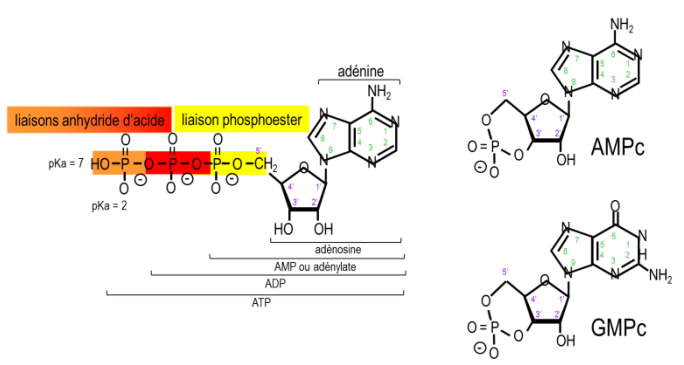
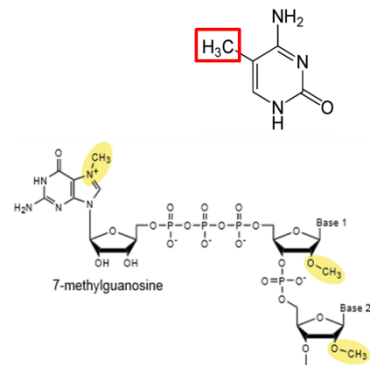
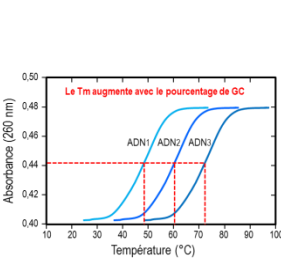
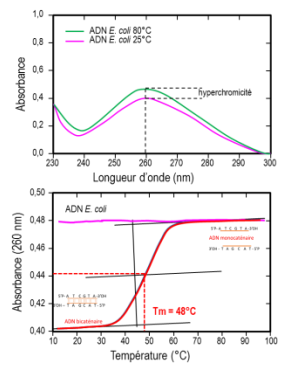
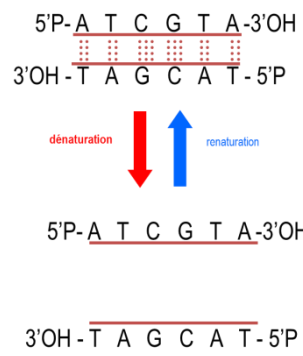
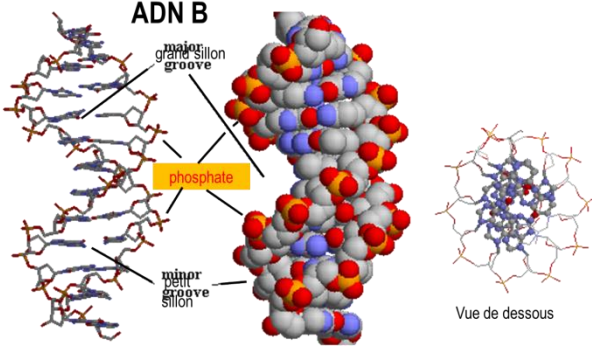
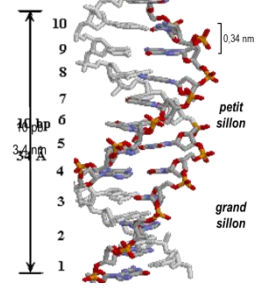


- nombre de A = nombre de T  
nombre de C = nombre de G
- une chaîne d'ADN polyA s'hybride avec une chaîne d'ADN polyT
- une chaîne d'ADN polyG s'hybride avec une chaîne d'ADN polyC

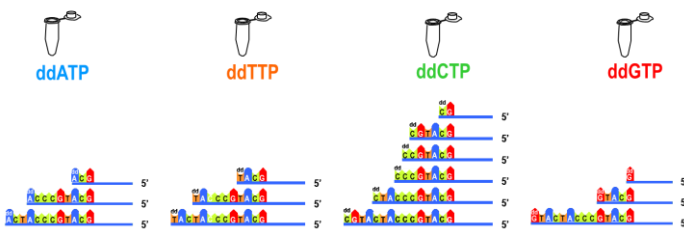
Appariement de Watson et Crick



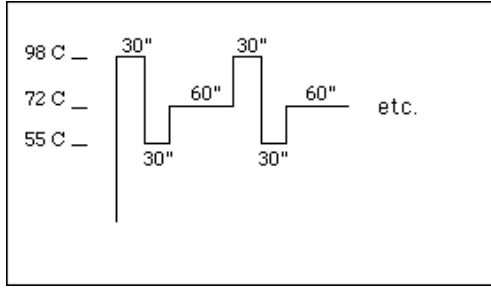
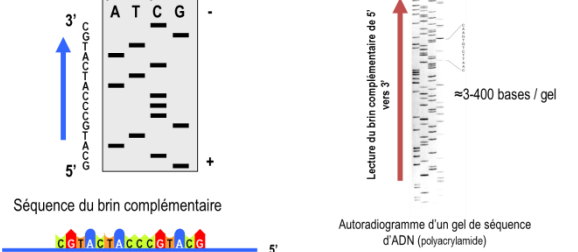
ADN B

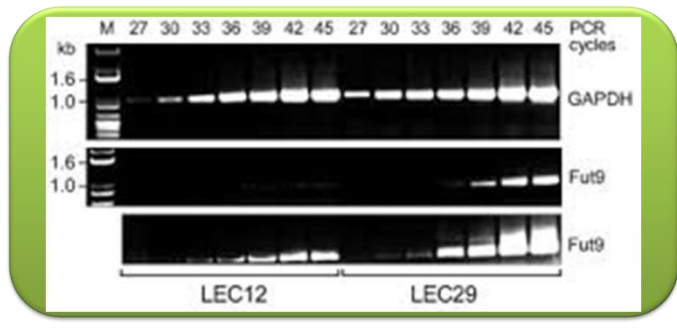


Séquences obtenues dans chaque tube.



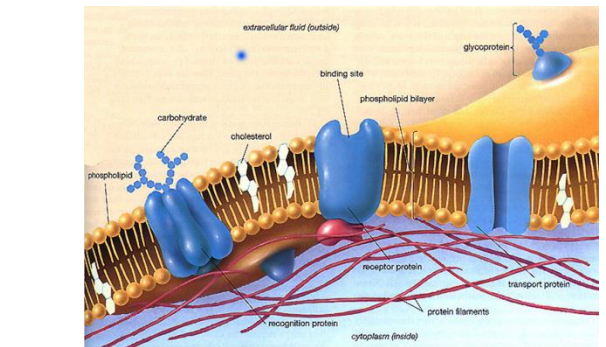
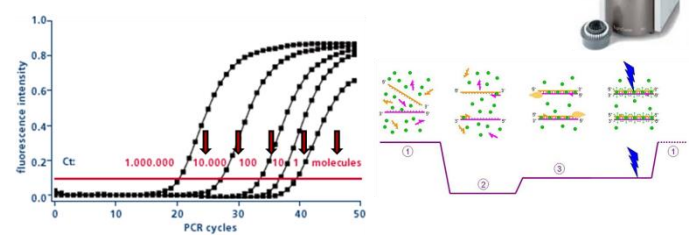
Séparation des molécules marquées par PAGE.



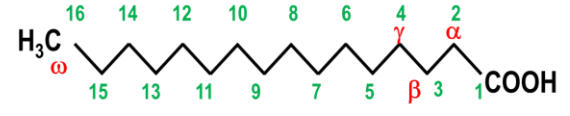


PCR en temps réel utilisant du SYBR Green comme sonde.

Méthode des  $\Delta\Delta Ct$



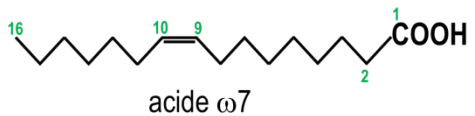
- Acide palmitique (C<sub>16:0</sub>)
- Acide n-hexadécanoïque



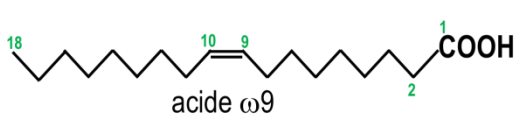
- Acide stéarique (C<sub>18:0</sub>)
- Acide n-octadécanoïque



- Acide palmitoléique C<sub>16:1</sub> Δ<sup>9</sup>



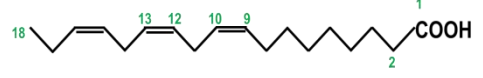
- Acide oléique C<sub>18:1</sub> Δ<sup>9</sup>



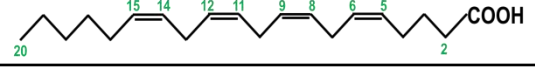
- Acide linoléique C<sub>18:2</sub> Δ<sup>9,12</sup>



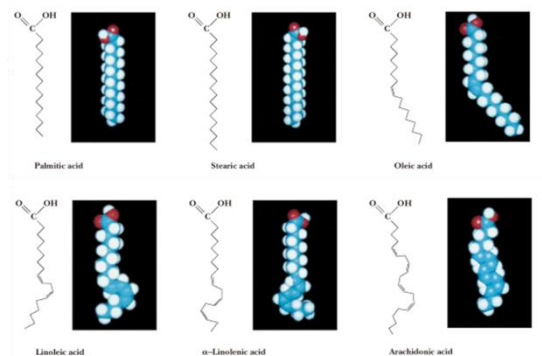
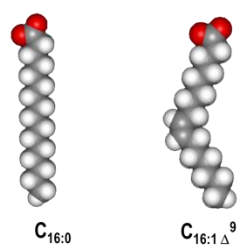
- Acide linoléique C<sub>18:3</sub> Δ<sup>9,12,15</sup>



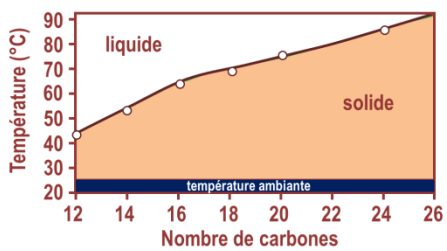
- Acide arachidonique C<sub>20:4</sub> Δ<sup>5,8,11,14</sup>



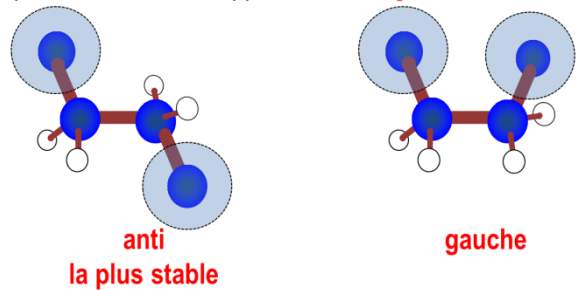
La configuration *cis* de la double liaison induit une courbure rigide de la chaîne aliphatique



- Point de fusion : température de passage de l'état gel à l'état fluide.
- dépend de la longueur de la chaîne aliphatique

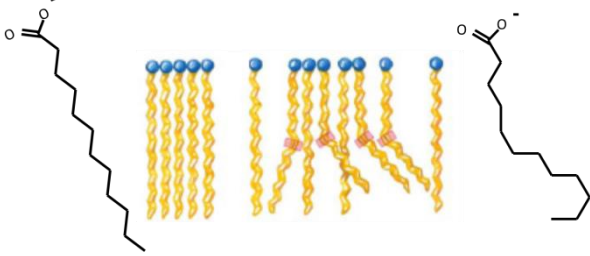


Liberté de rotation des liaisons simples C-C :  
2 positions extrêmes appelées **anti** et **gauche**



Basse température : position **anti** prédominante. Les acides gras sont **ordonnés** : état **gel**

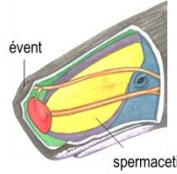
Température élevée : position **gauche** prédominante. Les acides gras sont **désordonnés** : état **fluide**



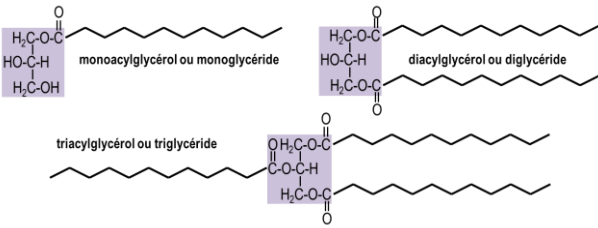
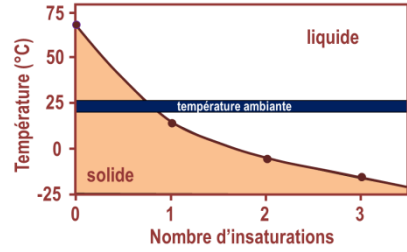
| Acide gras saturé | Point de fusion (°C) | Acide gras insaturé | Point de fusion (°C) |
|-------------------|----------------------|---------------------|----------------------|
| C <sub>12:0</sub> | 44,2                 | C <sub>16:1</sub>   | -0,5                 |
| C <sub>14:0</sub> | 53,9                 | C <sub>18:1</sub>   | 13,4                 |
| C <sub>16:0</sub> | 63,1                 | C <sub>18:2</sub>   | 5                    |
| C <sub>18:0</sub> | 69,6                 | C <sub>18:3</sub>   | -11                  |
| C <sub>20:0</sub> | 76,5                 | C <sub>20:4</sub>   | -49,5                |
| C <sub>22:0</sub> | 86,0                 |                     |                      |



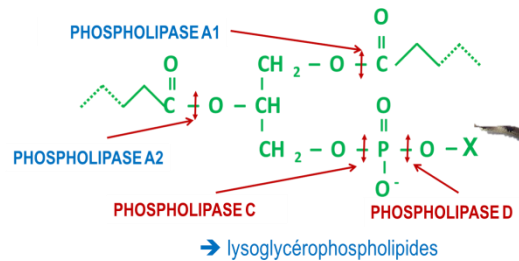
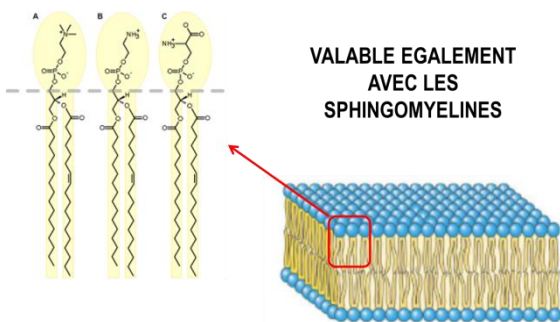
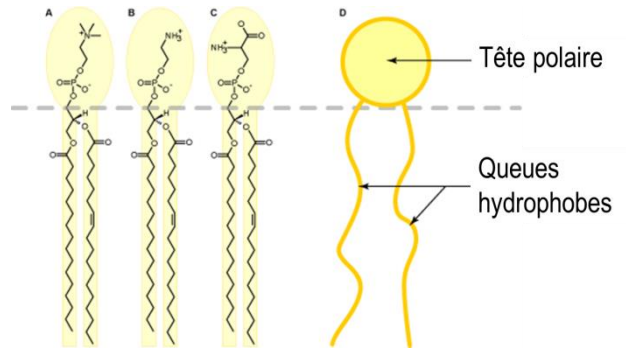
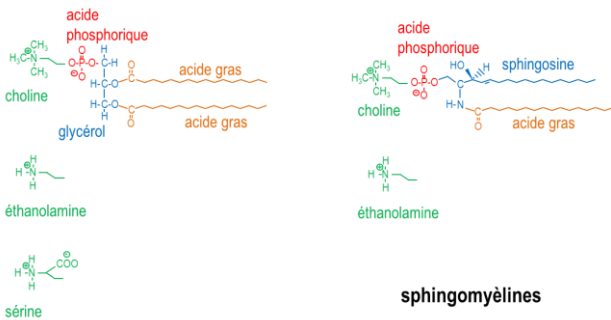
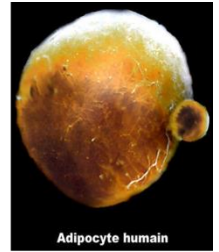
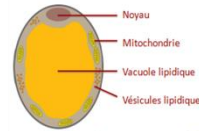
acides gras essentiels

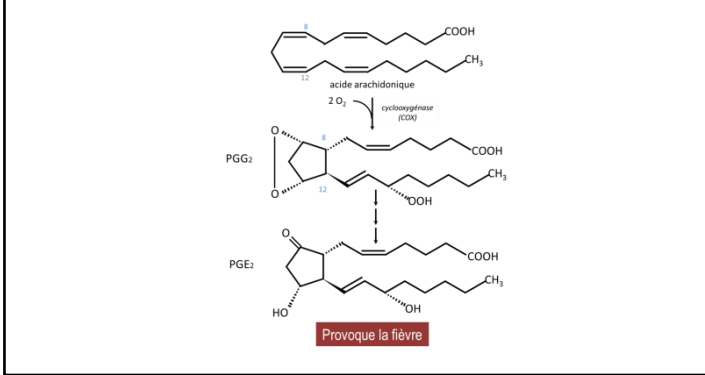
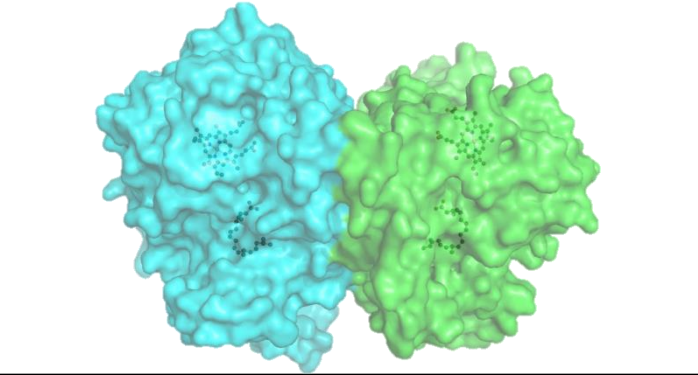
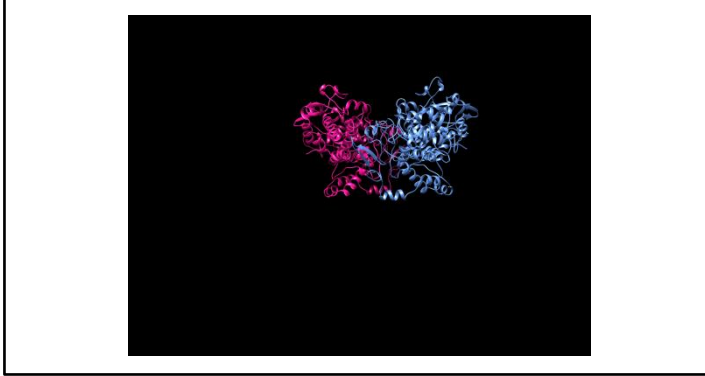
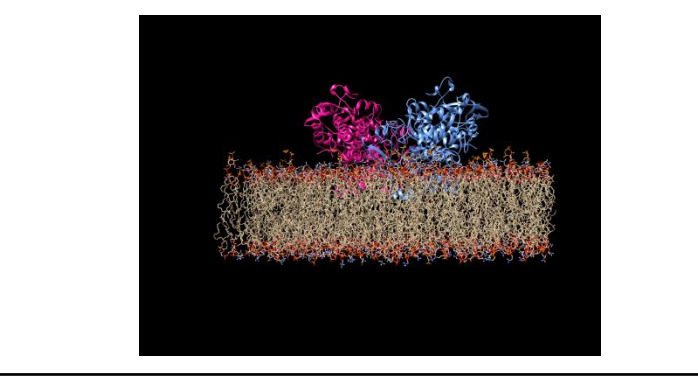
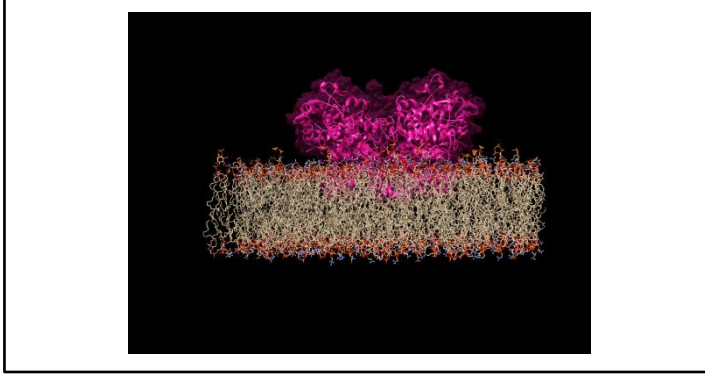
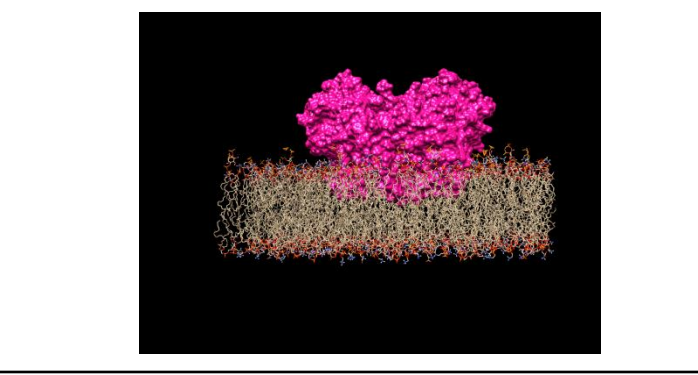
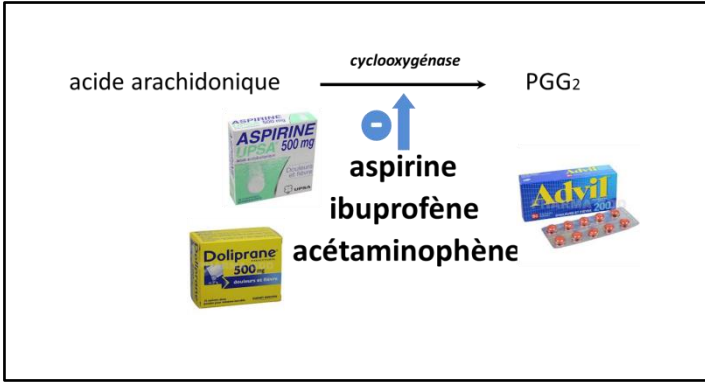
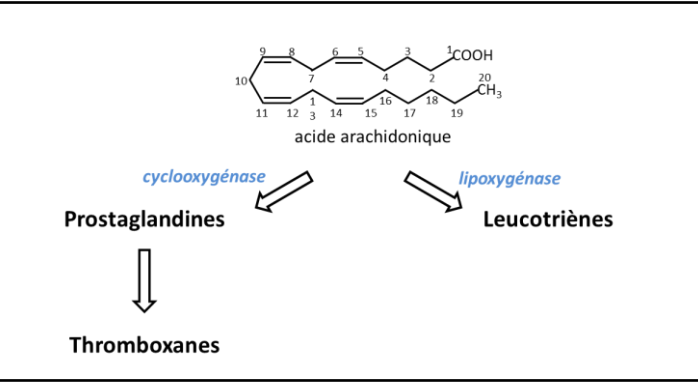
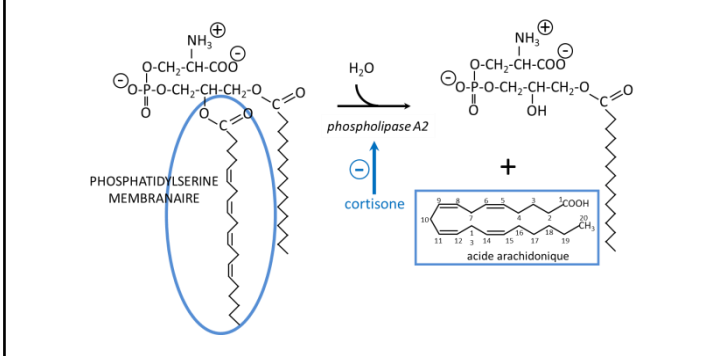
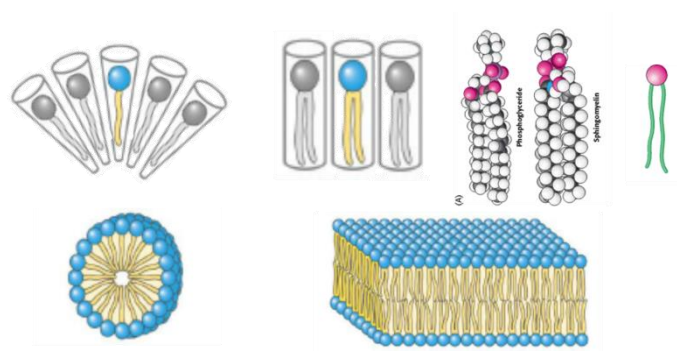


4°C → état solide et dense, l'animal plonge  
37°C → état liquide et léger, l'animal remonte

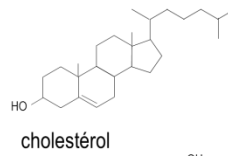
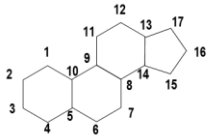


Adipocytes

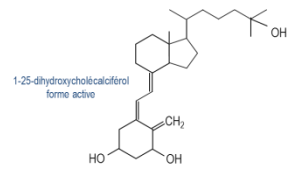




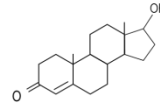
noyau stérol



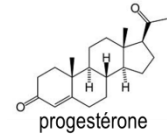
cholestérol



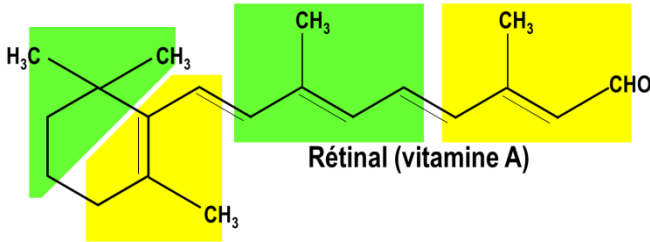
1-25-dihydroxycholecalciférol  
forme active



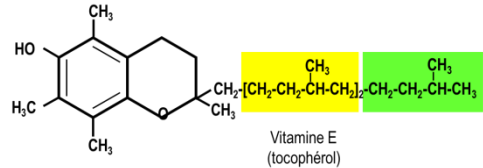
testostérone



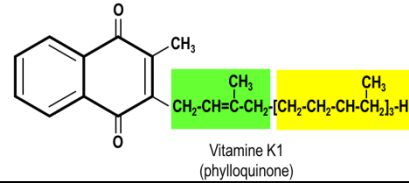
progestérone



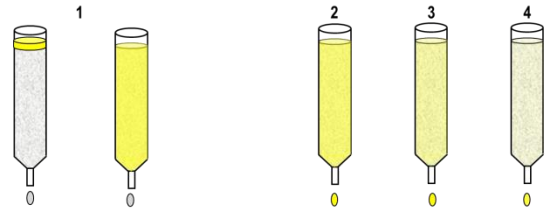
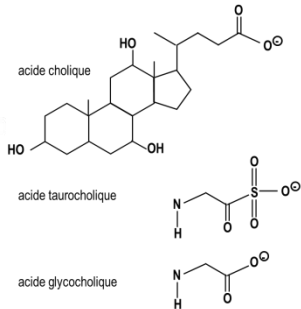
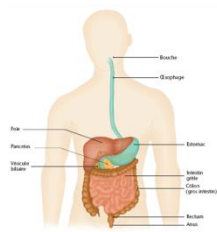
Rétinal (vitamine A)



Vitamine E  
(tocophérol)



Vitamine K1  
(phylloquinone)



① les lipides sont déposés et se fixent sur la colonne.

Les lipides sont élués avec des solutions de plus en plus hydrophobes : ② méthanol, ③ acétonitrile, ④ acétone.

|  |  |
|--|--|
|  |  |
|  |  |
|  |  |
|  |  |
|  |  |
|  |  |

|  |  |
|--|--|
|  |  |
|  |  |
|  |  |
|  |  |
|  |  |
|  |  |

|  |  |
|--|--|
|  |  |
|  |  |
|  |  |
|  |  |
|  |  |
|  |  |

|  |  |
|--|--|
|  |  |
|  |  |
|  |  |
|  |  |
|  |  |
|  |  |

|  |  |
|--|--|
|  |  |
|  |  |
|  |  |
|  |  |
|  |  |
|  |  |